

# СВОЙСТВА ЭЛЕКТРОМАГНИТНЫХ ПОЛЕЙ ВБЛИЗИ МАССИВНОЙ КРОТОВОЙ НОРЫ

*И. Д. Новиков<sup>a,b</sup>, А. А. Шацкий<sup>a\*</sup>*

<sup>a</sup> *Астрокосмический центр, Физический институт им. П. Н. Лебедева Российской академии наук  
117997, Москва, Россия*

<sup>b</sup> *The Nielse Bohr International Academy, The Nielse Bohr Institute  
DK-2100, Copenhagen, Denmark*

Поступила в редакцию 25 апреля 2011 г.

Доказана возможность существования электромагнитных «волос» не только у безмассовых, но и у массивных, проходных кротовых нор, а также рассмотрен плавный предельный переход от проходных кротовых нор к черным дырам Рейснера–Нордстрема с соответствующим исчезновением «волос». Построен общий метод нахождения решения стационарных, осесимметричных уравнений Максвелла в поле массивных, сферически-симметричных кротовых нор. Как частный пример применения этого метода, найдено решение осесимметричной магнитостатики кольцевого тока в поле кротовой норы Бронникова–Эллиса–Мориса–Торна.

## 1. ВВЕДЕНИЕ

Особенности электродинамики кротовых нор впервые были отмечены Уилером в работах [1, 2]. Впоследствии эти вопросы рассматривались в целом ряде работ. В статье [3] были исследованы многие особенности свойств электрических и магнитных полей в статических и квазистатических кротовых норах. Там же есть ссылки на более ранние работы. В последние годы работа по изучению электромагнитных полей в окрестности кротовых нор вновь активизировалась. Такие задачи, помимо общего принципиального интереса, важны еще и потому, что в работах [4–6] рассмотрена возможность существования макроскопических кротовых нор в реальной Вселенной. Для наблюдательного проявления кротовых нор в астрофизике окружающие их магнитные поля могут иметь принципиальное значение.

Кроме того, для полного понимания физических процессов вблизи релятивистских гравитирующих объектов важен сам факт нахождения новых точных решений (в частности — решений для электромагнитных полей в общей теории относительности, ОТО).

Первая широко известная пионерская работа

1976 г. принадлежит Линету [7], в ней найдено точное решение в замкнутом виде для поля точечного заряда вблизи шварцшильдовской черной дыры. Этот же автор, но уже в 2008 г. нашел точное решение в замкнутом виде для поля точечного заряда вблизи безмассовой кротовой норы [8]. Третья работа 2007 г. принадлежит Алексею и Белинскому [9], в ней найдено точное решение для поля равновесной конфигурации двух заряженных черных дыр Рейснера–Нордстрема; см. также обзоры [10, 11] по черным дырам. В работах [8, 12–14] были изучены свойства электрических полей вблизи кротовых нор, создаваемых точечными квазистатическими зарядами, а также найдены конфигурации полей типа «заряд без заряда» и «диполь без диполя» [14]. При этом до сих пор в качестве исходных моделей кротовых нор выбирались простейшие модели, а именно, сферически-симметричные, безмассовые кротовые норы, метрика которых в общем виде может быть представлена в виде [15]

$$ds^2 = d\tau^2 - dR^2 - r^2(R) [d\theta^2 + \sin^2\theta d\varphi^2], \quad (1)$$

где  $r^2(R)$  может являться произвольной функцией, удовлетворяющей условиям монотонного убывания в другой вселенной (при  $R < 0$ ) и монотонного роста в нашей Вселенной (при  $R > 0$ ). При этом мини-

\*E-mail: shatskiy@asc.rssi.ru

мальное значение  $r(0) \equiv r_0 > 0$  является (по определению) горловиной кротовой норы.

Компонента  $g_{\tau\tau}$  метрики (1) равна единице, поэтому такая кротовая нора не притягивает (и не отталкивает) покоящиеся массивные тела (неподвижные тела в поле такой кротовой норы остаются неподвижными). Такие кротовые норы принято называть безмассовыми, например, кротовая нора Бронникова–Эллиса–Мориса–Торна (БЭМТ) имеет зависимость  $r^2(R) = r_0^2 + R^2$  (см., например, [16, 17]).

Модели безмассовых кротовых нор были выбраны в работах [8, 12, 13] для исследования электромагнитных полей в связи с относительно простым применением математического аппарата ОТО в метрике (1).

В общем случае метрика статичной, сферически-симметричной и массивной кротовой норы может быть записана в виде [15]

$$ds^2 = g_{\tau\tau}(R)d\tau^2 - dR^2 - r^2(R) [d\theta^2 + \sin^2\theta d\varphi^2]. \quad (2)$$

В этом случае кротовая нора может обладать массой  $M$ , которая в вакууме (на бесконечном расстоянии от горловины), согласно теореме Биркгофа, определяется как  $g_{\tau\tau}(r \rightarrow \infty) \approx 1 - 2M/r$ .

У массивной проходимой кротовой норы на функцию  $g_{\tau\tau}(R)$  накладывается очень важное ограничение: на всей области определения  $R \in (-\infty, +\infty)$  должно быть выполнено условие отсутствия горизонта черной дыры:  $g_{\tau\tau}(R) > 0$ .

Метрику (2) можно переписать в координатах кривизн:

$$ds^2 = g_{\tau\tau}^{\pm}(r)d\tau^2 - B_{\pm}^{-1}(r)dr^2 - r_{\pm}^2 \times [d\theta^2 + \sin^2\theta d\varphi^2], \quad (3)$$

где

$$B_{\pm}(r) = \left(\frac{dr}{dR}\right)^2.$$

Здесь и далее индексы « $\pm$ » обозначают области нашей «+» и другой «-» вселенных.

В работе [14] было показано, что у безмассовых кротовых нор, в отличие от черных дыр, могут присутствовать электромагнитные мультиполи любого порядка. Этот эффект объясняется отсутствием горизонта, который уничтожает все мультиполи кроме монополя. Кроме того, отсутствие горизонта приводит к возможности существования тангенциальных компонент электромагнитного поля на горловине кротовой норы. Теорема «об отсутствии электромагнитных волос у черной дыры» запрещает подобные свойства для черных дыр.

В данной работе изучены электромагнитные поля для массивных, проходимых кротовых нор. Кроме того, показано, каким образом происходит изменение электромагнитных свойств кротовых нор при плавном переходе от массивной проходимой кротовой норы к черной дыре (для безмассовых кротовых нор такой плавный переход невозможен в принципе). В качестве примера применения метода в разд. 5 найдено решение для осесимметричной магнитостатики кольцевого тока в поле кротовой норы БЭМТ.

В данной работе мы рассматриваем статические кротовые норы и не обсуждаем вопросы о физической природе материи, обеспечивающей их статичность.

## 2. УРАВНЕНИЯ МАКСВЕЛЛА

Рассмотрим поле одиночного точечного заряда  $e$  при  $\theta = 0$  и  $r = r_e \geq r_0$  в нашем пространстве (другие конфигурации зарядов могут быть исследованы с помощью принципа суперпозиции, справедливого для слабых электромагнитных полей).

Запишем уравнения Максвелла в искривленном пространстве-времени ОТО<sup>1)</sup>:

$$\frac{1}{\sqrt{-g}} (\sqrt{-g} g^{jn} g^{km} F_{nm})_{,k} = -4\pi j^j. \quad (4)$$

Здесь  $g$  — детерминант метрического тензора,  $F_{nm} = \partial_n A_m - \partial_m A_n$  — тензор электромагнитного поля,  $j^j$  — 4-вектор тока.

В случае метрики (3)

$$g = -\frac{g_{\tau\tau}}{B} r^4 \sin^2\theta, \quad j^j = \frac{e\delta_\tau^j \delta(r-r_e)\delta(\theta)}{2\pi\sqrt{-g}} = \frac{e\delta_\tau^j \delta(r-r_e)\delta(\cos\theta-1)}{2\pi r^2 \sqrt{g_{\tau\tau}/B}}. \quad (5)$$

Из свойств симметрии 4-потенциал  $A_m$  имеет только временную компоненту. Далее обозначаем  $\xi \equiv r/r_0$ ,  $\xi_e \equiv r_e/r_0$ ,  $t \equiv \cos\theta$ . Подставляя выражение для  $A_\tau$  в (4), получаем уравнение

$$\left(\xi^2 \sqrt{B/g_{\tau\tau}} A_{\tau,\xi}\right)_{,\xi} + \left(\frac{1-t^2}{\sqrt{B}g_{\tau\tau}} A_{\tau,t}\right)_{,t} = -\frac{2e\delta(\xi-\xi_e)\delta(t-1)}{r_0}. \quad (6)$$

Решение для потенциала  $A_\tau$  будем искать методом разделения переменных:

$$A_\tau = \sum_{n=0}^{\infty} Y_n(\xi) P_n(t). \quad (7)$$

<sup>1)</sup> Везде в работе используется система единиц, в которой скорость света  $c = 1$  и гравитационная постоянная  $G = 1$ .

Здесь  $Y_n$  и  $P_n$  — независимые функции. Тогда однородное уравнение (6) переписывается в виде двух отдельных уравнений:

$$(1 - t^2)P_{n,tt} - 2tP_{n,t} = -n(n + 1)P_n, \quad (8)$$

$$\left( \xi^2 \sqrt{\frac{B}{g_{\tau\tau}}} Y_{n,\xi} \right)_{,\xi} = \frac{n(n + 1)Y_n}{\sqrt{B}g_{\tau\tau}}. \quad (9)$$

Решением уравнения (8) являются полиномы Лежандра первого рода  $P_n(t)$ , таким образом, общее решение представимо в виде разложения по мультиполям.

Отсюда сразу можно получить монопольную часть общего решения для напряженности электрического поля (с учетом  $P_0 = 1$ , а также сшивки на сферах  $\xi = 1$  и  $\xi = \xi_e$ ) у незаряженной кротовой норы:

$$F_{r\tau}^{mon,q=0} = \frac{1}{r_0} Y_0(\xi)_{,\xi} = \begin{cases} 0, & R < R_e, \\ \frac{e}{r^2 \sqrt{B/g_{\tau\tau}}}, & R > R_e. \end{cases} \quad (10)$$

Здесь  $R_e$  — радиальная координата физической длины  $R$ , соответствующая  $r_e = r(R_e)$ .

Если же кротовая нора имеет собственный (топологический) заряд  $q$ , то решение (10) переписывается в виде

$$F_{r\tau}^{mon} = \frac{1}{r_0} Y_0(\xi)_{,\xi} = \begin{cases} \frac{-q}{r^2 \sqrt{B/g_{\tau\tau}}}, & R < 0, \\ \frac{q}{r^2 \sqrt{B/g_{\tau\tau}}}, & 0 < R < R_e, \\ \frac{e + q}{r^2 \sqrt{B/g_{\tau\tau}}}, & R > R_e. \end{cases} \quad (11)$$

### 3. НАЛИЧИЕ «ВОЛОС» У КРотовых НОР

Как известно у черной дыры нет электромагнитных «волос», из этого следует, в частности, что тангенциальные компоненты поля любого мультиполя должны обращаться в нуль на горизонте.

Покажем теперь, что для кротовой норы это может быть и не так, а напротив: любой мультиполь (кроме монополя) может обладать ненулевыми тангенциальными компонентами поля на горловине кротовой норы.

Рассмотрим мультиполи с  $n \geq 1$  (монополь был рассмотрен в конце предыдущего раздела). Как известно, и поле, и потенциал от любого мультиполя должны оставаться конечными во всем пространстве (см., например, [14]). На горловине кротовой норы потенциал в нашей и в другой вселенных должен гладко сшиваться, т. е. производные потенциала остаются на горловине конечными функциями. Тангенциальная компонента поля от каждого мультиполя записывается как  $Y_n(\xi)P_n(\cos\theta)_{,\theta}$ .

Перепишем уравнение (9) в виде

$$n(n + 1)Y_n = B (\xi^2 Y_{n,\xi})_{,\xi} + \frac{\xi^2 Y_{n,\xi}}{2} \left[ B_{,\xi} - \frac{B g_{\tau\tau,\xi}}{g_{\tau\tau}} \right]. \quad (12)$$

Величина  $g_{\tau\tau}$  и ее производная остаются положительными около горловины (и во всем пространстве), а величина  $B$  обращается в нуль на горловине. В то же время производная  $B_{,\xi}$  должна оставаться положительной около горловины (и во всем пространстве), иначе горловина кротовой норы может иметь бесконечную физическую протяженность  $l$ :

$$l(\xi) = r_0 \int_1^\xi \frac{d\xi}{\sqrt{B(\xi)}}, \quad (13)$$

т. е. интеграл (13) не должен расходиться на горловине.

В работах [4, 5, 18, 19] была рассмотрена магнитная кротовая нора, у которой основная часть материи является обычным магнитным полем (топологическим монополем) и лишь малая часть материи (сколь угодно малая) является фантомной. Эта магнитная кротовая нора по своей геометрии очень близка к предельной черной дыре Рейснера–Нордстрема с зарядом  $q$ , равным массе  $m$  и радиусу горизонта  $r_h$ . При этом у магнитной кротовой норы отличие радиуса горизонта  $r_h$  от радиуса горловины  $r_0$  является сколь угодно малой величиной, которая определяет также уравнение состояния фантомной материи.

Одной из возможных форм записи метрического тензора проходимой магнитной кротовой норы может быть следующая:

$$ds^2 = \left(1 - \frac{r_h}{r}\right)^2 d\tau^2 - \frac{dr^2}{\left(1 - \frac{2r_h - r_0}{r}\right) \left(1 - \frac{r_0}{r}\right)} - r^2 [d\theta^2 + \sin^2\theta d\varphi^2], \quad (14)$$

$$r_h \approx r_0, \quad r_h < r_0.$$

Отсюда видно, что в пределе при  $r_0 \rightarrow r_h$  имеем  $B \rightarrow g_{\tau\tau}$  и  $B_{,r}(r_0) \rightarrow 0$ . Такая предельная магнитная кротовая нора обладает бесконечной протяженностью горловины  $l$  и является, на самом деле, уже предельной черной дырой Рейснера–Нордстрема. Этот объект является непроходимым по двум причинам: из-за наличия горизонта (в точке горловины) и из-за бесконечной протяженности горловины  $l(\xi)$ , не позволяющей за конечное время уйти в другую вселенную. В этом случае все слагаемые в правой части выражения (12) на горловине обращаются в нуль, что соответствует отсутствию «волос».

Если же у магнитной кротовой норы  $r_h < r_0$ , то на горловине  $B_{,\xi}|_{(\xi=1)} > 0$  и поэтому тангенциальные компоненты поля на горловине присутствуют, т. е. у такой кротовой норы есть «волосы» (и нет горизонта).

Единственным исключением для проходимых кротовых нор, не имеющих «волос», с  $g_{\tau\tau} > 0$  и с конечной протяженностью горловины являются кротовые норы с функцией  $B(r)$ , которая вблизи горловины может быть представлена в виде  $B(r) = (1 - r_0/r)^k$  при  $1 < k < 2$ .

Можно было бы рассмотреть и другие модели кротовых нор (не обладающих горизонтом, и поэтому не являющихся черными дырами<sup>2)</sup>) с бесконечной протяженностью горловины, у которых также не будет на горловине «волос», однако такие кротовые норы уже не будут проходимыми (из-за бесконечной протяженности горловины) и поэтому мы их не рассматриваем в данной работе.

#### 4. МЕТОД ПОСТРОЕНИЯ ОБЩЕГО РЕШЕНИЯ

Область определения общего решения можно разбить на три части (см. рисунок).

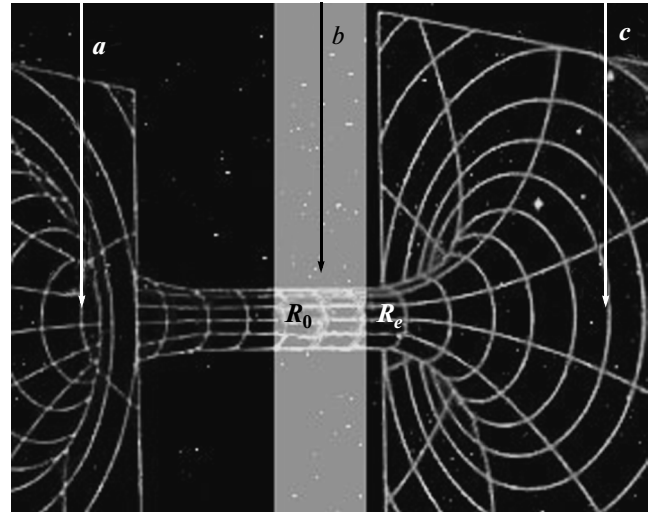
1. Область другой вселенной  $R < 0$ , обозначаем ее индексом «a».
2. Область нашей вселенной при  $1 < \xi < \xi_e$ , обозначаем ее индексом «b».
3. Область нашей вселенной при  $\xi > \xi_e$ , обозначаем ее индексом «c».

Все три области непрерывно сшиваются друг с другом:

$$Y_n^a(1) = Y_n^b(1), \quad Y_n^b(\xi_e) = Y_n^c(\xi_e). \quad (15)$$

При этом решения  $Y_n^a(\xi)$  и  $Y_n^c(\xi)$  должны стремиться к нулю на бесконечности, поэтому могут отли-

<sup>2)</sup> Можно, например, рассмотреть непроходимую кротовую нору, у которой  $g_{\tau\tau} > 0$ ,  $B = (1 - r_0/r)^k$  и  $k \geq 2$ .



Области условного разбиения кротовой норы на три части: область  $a$  — при  $R < R_0 \equiv 0$ , область  $b$  — при  $0 < R < R_e$ , область  $c$  — при  $R_e < R$

чаться друг от друга только постоянным коэффициентом:  $Y_n^a(\xi) = C_n^a Y_n^c(\xi)$ , где коэффициент  $C_n^a$  определяется из формулы (15):

$$C_n^a = \frac{Y_n^b(1)}{Y_n^c(1)}. \quad (16)$$

При этом условие гладкой (не только непрерывной, как в (15)) сшивки на горловине кротовой норы обеспечивается автоматически, так как гладкая сшивка должна идти по координате  $R$ , а не по  $r$ , поэтому на горловине производные функций  $Y_n^a(\xi)$  и  $Y_n^b(\xi)$  должны умножаться на величину  $r_{,R} = \sqrt{B}$ , что и обеспечивает гладкость.

Любое дифференциальное уравнение второго порядка при заданных граничных условиях имеет два независимых решения, между которыми существует известная связь. В случае уравнения (9) решения  $Y_n^a(\xi)$  и  $Y_n^c(\xi)$  должны стремиться к нулю на бесконечности как  $1/r^{n+1}$  в соответствии с мультипольной асимптотикой. Тогда решение  $Y_n^b(\xi)$  выражается через  $Y_n^c(\xi)$  по известной формуле (см., например, [20]):

$$Y_n^b(\xi) = C_n^b Y_n^c(\xi) \int_{\xi_1}^{\xi} \frac{d\tilde{\xi}}{[Y_n^c(\tilde{\xi})]^2 \tilde{\xi}^2 \sqrt{B/g_{\tau\tau}}}, \quad (17)$$

где  $C_n^b$  и  $\xi_1$  также являются постоянными коэффициентами. Математические подробности этого раздела содержатся в Приложении А.

Как уже было сказано, общим решением с учетом монопольной компоненты (11) является сумма (7). Некоторые относительно простые частные случаи применения этого метода ранее были рассмотрены в работах [12–14, 21]. В следующем разделе мы также рассмотрим еще один частный случай осесимметричной магнитостатики, для кротовых нор ранее не рассматривавшийся.

### 5. МАГНИТОСТАТИКА КОЛЬЦЕВОГО ТОКА

Рассмотрим теперь случай осесимметричной магнитостатики кольцевого тока в поле кротовой норы. Магнитостатика кротовых нор является не менее важной, чем электростатика. Решение будем искать описанным выше методом для случая простейшей безмассовой кротовой норы БЭМТ с метрикой (1) для  $r^2 = r_0^2 + R^2$ .

Математические подробности этих вычислений вынесены в Приложение В.

Рассмотрим здесь только простейший частный случай кольцевого тока на горловине кротовой норы:  $x_J = 0$ . Найдем главную — дипольную — компоненту ( $n = 1$ ) выражения (В.30). Решение для нее во всем пространстве запишется в виде

$$A_\varphi^{dip}(x, t, 0, t_J) = \frac{\mu(1-t^2)|x - (1+x^2) \operatorname{artg}(1/x)|}{r_0} \rightarrow \frac{\mu \sin^2 \theta}{|R|}, \quad \mu \equiv \frac{3}{8} J r_0^2 (1-t_J^2). \quad (18)$$

Здесь величина  $\mu$  имеет смысл магнитного момента системы, а стрелка означает предел при  $x \rightarrow \pm\infty$ .

Как и следует ожидать, дипольное магнитное поле вдоль оси  $\theta = 0$  не меняет знака при пересечении горловины:

$$H_{dip}^{\hat{r}}(x, t, 0, t_J) \equiv \sqrt{g^{\theta\theta} g^{\varphi\varphi}} F_{\theta\varphi}^{dip} = \frac{2\mu t |x - (1+x^2) \operatorname{artg}(1/x)|}{r_0^3 (1+x^2)} \rightarrow \frac{2\mu \cos \theta}{|R^3|}. \quad (19)$$

### 6. ЗАКЛЮЧЕНИЕ

В данной работе мы доказали возможность существования «волос» не только у безмассовых, но и у массивных, проходимых кротовых нор, а также рассмотрели плавный предельный переход от кротовых нор к черным дырам Рейснера–Нордстрема с соответствующим исчезновением «волос». Мы постро-

ли также общий метод нахождения решения стационарных, осесимметричных уравнений Максвелла в поле массивных, сферически-симметричных кротовых нор. Как частный пример применения этого метода было найдено решение осесимметричной магнитостатики кольцевого тока в поле кротовой норы БЭМТ.

Поскольку далекие астрофизические объекты гораздо легче обнаружить при наличии у них электромагнитных «волос» (мультиполей), данная работа может оказаться полезной для наблюдательного обнаружения кротовых нор.

Работа выполнена при частичной финансовой поддержке Федеральной программы «Научно-педагогическая инновационная Россия 2009–2011» и программы Президиума академии наук «Происхождение, структура и эволюция объектов во Вселенной 2011».

### ПРИЛОЖЕНИЕ А

#### Нахождение гладкого решения для массивной кротовой норы

Функции  $Y_n^a(\xi)$  и  $Y_n^b(\xi)$  выражаются через коэффициенты  $C_n^a, C_n^b$  и через функцию  $Y_n^c(\xi)$ , которую можно найти из уравнения (9) численно. Амплитуда функции  $Y_n^c(\xi)$  выбирается так, чтобы общее решение (7) совпадало на бесконечности (в пространстве Минковского) с известным разложением по мультиполям:

$$A_\tau^{Minkovsky}(r, t, r_e) = \frac{e}{r} \sum_{n=0}^{\infty} \left(\frac{r_e}{r}\right)^n P_n(t), \quad (A.1)$$

$r_e \ll r,$

т. е. должно быть

$$Y_n^c(\xi \rightarrow \infty) \rightarrow \frac{e}{r_0} \frac{\xi_e^n}{\xi^{n+1}}.$$

В точке  $\xi = \xi_e$  условия сшивки (15) и соотношение (17) приводят к выражению

$$\frac{r_0}{e(2n+1)Y_n^c(\xi_e)} = \int_{\xi_1}^{\xi_e} \frac{d\tilde{\xi}}{[Y_n^c(\tilde{\xi})]^2 \tilde{\xi}^2 \sqrt{B/g_{\tau\tau}}}. \quad (A.2)$$

Оно позволяет определить константу интегрирования  $\xi_1$ .

Для нахождения коэффициента  $C_n^b$  делим выражение (17) на  $Y_n^c(\xi)$  и дифференцируем по  $\xi$ :

$$\frac{d}{d\xi} \left[ \frac{Y_n^b(\xi)}{Y_n^c(\xi)} \right] = \frac{C_n^b}{[Y_n^c(\xi)]^2 \xi^2 \sqrt{B/g_{\tau\tau}}}. \quad (A.3)$$

Для нахождения неизвестного коэффициента  $C_n^b$  подставляем в уравнение (6) выражение (7), умножаем его на  $P_n(t)$  и интегрируем по  $dt$  в пределах от  $-1$  до  $1$ . С учетом уравнения Лежандра (8) и свойства ортогональности полиномов Лежандра первого рода получаем

$$\left( \xi^2 \sqrt{\frac{B}{g_{\tau\tau}}} Y_{n,\xi} \right)_{,\xi} - n(n+1) \frac{Y_n}{\sqrt{B g_{\tau\tau}}} = - \frac{(2n+1)e\delta(\xi - \xi_e)}{r_0}. \quad (A.4)$$

Интегрируем обе части (A.4) по  $\xi$  в пределах от  $\xi_e - \epsilon$  до  $\xi_e + \epsilon$ , потом устремляем  $\epsilon$  к нулю и получаем в точке  $\xi_e$ :

$$\partial_\xi (Y_n^b - Y_n^c) = \frac{e(2n+1)}{r_0 \xi_e^2 \sqrt{B/g_{\tau\tau}}}. \quad (A.5)$$

С другой стороны, с учетом соотношений (15) и (A.3) выражение (A.5) в точке  $\xi_e$  переписывается в виде

$$\frac{C_n^b}{[Y_n^c(\xi_e)]^2 \xi_e^2 \sqrt{B/g_{\tau\tau}}} = \frac{\partial_\xi (Y_n^b - Y_n^c)}{Y_n^c} = \frac{e(2n+1)}{r_0 Y_n^c(\xi_e) \xi_e^2 \sqrt{B/g_{\tau\tau}}}. \quad (A.6)$$

Отсюда получаем необходимый коэффициент:

$$C_n^b = \frac{e(2n+1)Y_n^c(\xi_e)}{r_0}. \quad (A.7)$$

### ПРИЛОЖЕНИЕ В

#### Магнитное поле кольцевого тока безмассовой кротовой норы

4-вектор тока запишем в виде

$$j^j = \frac{J \delta_\varphi^j \delta(R - R_J) \delta(\theta - \theta_J)}{2\pi r^2 \sin \theta}. \quad (B.1)$$

Аксиальная компонента уравнения Максвелла (4) для единственной ненулевой компоненты  $A_\varphi$  имеет вид

$$r^2 A_{\varphi,RR} + (1 - t^2) A_{\varphi,tt} = -4\pi r^4 (1 - t^2) j^\varphi. \quad (B.2)$$

Решение также ищем методом разделения переменных:

$$A_\varphi(x_J, t_J, x, t) = A_\varphi^{mon}(t) + \sum_{n=1}^{\infty} C_n(x_J, t_J) Y_n(x) T_n(t), \quad (B.3)$$

где  $x \equiv R/r_0$ ,  $x_J \equiv R_J/r_0$ ,  $t_J \equiv \cos \theta_J$ .

Однородное уравнение (B.2) аналогично уравнениям (8), (9) переписывается в виде

$$(1 - t^2) T_{n,tt} = -n(n+1) T_n, \quad (B.4)$$

$$(1 + x^2) Y_{n,xx} = n(n+1) Y_n. \quad (B.5)$$

Отсюда получаем для монопольной компоненты:

$$A_\varphi^{mon}(t) = q_m t, \quad H_{mon}^{\dot{r}} \equiv \sqrt{F^{\theta\varphi} F_{\theta\varphi}} = \frac{q_m}{r^2}. \quad (B.6)$$

Для  $n \geq 1$  вводим новые функции:

$$P_n(t) = T_{n,t}, \quad Q_n(ix) = Y_{n,x} \quad (B.7)$$

и, дифференцируя (B.4), (B.5), получаем

$$[(1 - t^2) P_{n,t}]_{,t} = -n(n+1) P_n, \quad (B.8)$$

$$[(1 + x^2) Q_{n,x}]_{,x} = n(n+1) Q_n. \quad (B.9)$$

Это уравнения Лежандра для действительного (B.8) и мнимого (B.9) аргументов. Интегрируя (B.8) и (B.9), получаем

$$T_n(t) = \int_{-1}^t P_n(t) dt = \frac{-(1 - t^2) P_{n,t}}{n(n+1)}, \quad (B.10)$$

$$Y_n^{a,c}(x) = - \int_x^\infty Q_n dx = \frac{(1 + x^2) Q_{n,x}}{n(n+1)}, \quad (B.11)$$

$$Y_n^b(x) = T_n(ix) = \frac{(1 + x^2) P_n(ix)_{,x}}{n(n+1)}. \quad (B.12)$$

Здесь индексы «a», «b» и «c» обозначают аналогичные предыдущему разделу области у кротовой норы:  $x_a < 0$ ,  $0 < x_b < x_J$ ,  $x_J < x_c$ , а  $Q_n$  — полиномы Лежандра второго рода от мнимого аргумента (стремящиеся к нулю на бесконечности):

$$P_n(x) = \frac{1}{2^n n!} \frac{d^n}{dx^n} (x^2 - 1)^n, \quad (B.13)$$

$$P_n(ix) = \frac{(-1)^n}{2^n n!} \frac{d^n}{dx^n} (x^2 + 1)^n,$$

$$Q_n(ix) = P_n(ix) \operatorname{artg} \left( \frac{1}{x} \right) + \sum_{k=1}^n \frac{1}{k} P_{k-1}(ix) P_{n-k}(ix). \quad (B.14)$$

Таблица

$n$	$P_n(t)$	$P_n(ix)$	$Q_n(ix)$	$T_n(t)$	$Y_n^b(x)$	$Y_n^{a,c}(x)$
0	1	1	$A$	—	—	—
1	$t$	$-x$	$-xA + 1$	$\frac{t^2 - 1}{2}$	$-\frac{1 + x^2}{2}$	$\frac{x - (1 + x^2)A}{2}$
2	$\frac{3t^2 - 1}{2}$	$\frac{1 + 3x^2}{2}$	$\frac{1 + 3x^2}{2}A - \frac{3x}{2}$	$\frac{t(t^2 - 1)}{2}$	$\frac{x(1 + x^2)}{2}$	$\frac{Ax(1 + x^2)}{2} - \frac{1}{3} - \frac{x^2}{2}$
3	$\frac{5t^3 - 3t}{2}$	$-\frac{5x^3 + 3x}{2}$	$-\frac{5x^3 + 3x}{2}A + \frac{5x^2}{2} + \frac{2}{3}$	$\frac{(t^2 - 1)(5t^2 - 1)}{8}$	$-\frac{(1 + x^2)(1 + 5x^2)}{8}$	$-\frac{(1 + x^2)(1 + 5x^2)A}{8} + \frac{x(13 + 15x^2)}{24}$

Примечание:  $A = \text{artg}(1/x)$ .

В работе [14] были подробно описаны свойства полиномов Лежандра мнимого аргумента. Приведем необходимые для вычислений рекуррентные формулы:

$$(n+1)P_{n+1}(x) = (2n+1)xP_n(x) - nP_{n-1}(x), \quad (\text{B.15})$$

$$(n+1)P_{n+1}(ix) = -(2n+1)xP_n(ix) + nP_{n-1}(ix). \quad (\text{B.16})$$

В таблице<sup>3)</sup> приведены несколько первых членов необходимых нам полиномов, вычисленных на основе (B.14)–(B.16) и (B.10)–(B.12). При этом

$$\lim_{x \rightarrow \infty} Q_n(ix) = \frac{2^n(n!)^2}{(2n)!(2n+1)x^{n+1}}, \quad (\text{B.17})$$

$$\lim_{x \rightarrow \infty} Y_n^{a,c}(x) = \frac{-2^n(n!)^2}{n(2n)!(2n+1)x^n}.$$

Найдем связь между коэффициентами  $C_n^b$  и  $C_n^c$  в (B.3). Для этого подставляем (B.3) в (B.2) и учитываем (B.1), (B.4), (B.6), (B.10):

$$\sum_{n=1}^{\infty} C_n P_{n,t} \left[ \frac{(1+x^2)Y_{n,xx}}{n(n+1)} - Y_n \right] = 2Jr_0(1+x^2)\delta(x-x_J)\delta(t-t_J). \quad (\text{B.18})$$

Теперь интегрируем это выражение по  $dt$  в пределах от  $t$  до 1:

$$\sum_{n=1}^{\infty} C_n [1 - P_n(t)] \left[ \frac{(1+x^2)Y_{n,xx}}{n(n+1)} - Y_n \right] = 2Jr_0(1+x^2)\delta(x-x_J)\Theta(t-t_J). \quad (\text{B.19})$$

Здесь  $\Theta(y)$  — ступенчатая функция. При выводе формулы (B.19) было учтено, что  $P_n(1) = 1$ .

Теперь умножаем выражение (B.19) на  $P_k(t)$  и, учитывая ортогональность полиномов Лежандра первого рода, интегрируем по  $dt$  в пределах от  $-1$  до 1:

$$\frac{-2C_n}{2n+1} \left[ \frac{(1+x^2)Y_{n,xx}}{n(n+1)} - Y_n \right] = 2Jr_0(1+x^2)\delta(x-x_J) \int_{-1}^{t_J} P_n(t) dt. \quad (\text{B.20})$$

Делим обе части (B.20) на  $1+x^2$ , интегрируем по  $x$  в пределах от  $x_J - \epsilon$  до  $x_J + \epsilon$ , потом устремляем  $\epsilon$  к нулю и получаем в точке  $x_J$  с учетом (B.7), (B.10):

$$C_n^b P_n(ix_J) - C_n^c Q_n(ix_J) = n(n+1)(2n+1)Jr_0 T_n(t_J). \quad (\text{B.21})$$

С другой стороны, в любой точке (в том числе и в  $x = x_J$ ) должно выполняться условие непрерывности потенциала:

$$C_n^b Y_n^b(x_J) = C_n^c Y_n^{a,c}(x_J). \quad (\text{B.22})$$

Известная связь между двумя частными решениями дифференциального уравнения (B.5) имеет вид

$$P_n(ix)Y_n^{a,c} - Q_n(ix)Y_n^b = \frac{1}{n(n+1)}. \quad (\text{B.23})$$

Из уравнений (B.21)–(B.23) выводим значения коэффициентов:

$$C_n^c = n^2(n+1)^2(2n+1)Jr_0 T_n(t_J) Y_n^b(x_J), \quad (\text{B.24})$$

<sup>3)</sup> Левая часть этой таблицы была опубликована в работе [14].

$$C_n^b = n^2(n+1)^2(2n+1)Jr_0T_n(t_J)Y_n^{a,c}(x_J). \quad (B.25)$$

Из выражения (B.14) видно, что на горловине функции  $Q_n$  (а значит и  $Y_n^{a,c}$ ) испытывают скачок:

$$\lim_{\epsilon \rightarrow 0} [Q_n(+i\epsilon) - Q_n(-i\epsilon)] = \pi P_n(i\epsilon). \quad (B.26)$$

В любой точке кроме  $x = x_J$  решение должно быть гладким, поэтому на горловине кротовой норы должны быть непрерывны и сами функции, и их первые производные:

$$\begin{aligned} C_n^a Y_n^{a,c}(-\epsilon) + C_n^{hom} Y_n^{a,c}(-\epsilon) = \\ = C_n^b Y_n^b(+\epsilon) + C_n^{hom} Y_n^{a,c}(+\epsilon), \end{aligned} \quad (B.27)$$

$$\begin{aligned} C_n^a Q_n(-i\epsilon) + C_n^{hom} Q_n(-i\epsilon) = \\ = C_n^b P_n(+i\epsilon) + C_n^{hom} Q_n(+i\epsilon). \end{aligned} \quad (B.28)$$

Для того чтобы удовлетворить условиям гладкости на горловине, мы к решению во всем пространстве добавили всюду конечное решение однородного уравнения (B.2):

$$\sum_{n=1}^{\infty} C_n^{hom} Y_n^{a,c}(x) T_n(t).$$

Из формул (B.26)–(B.28) получаем, что

$$C_n^a = 0, \quad C_n^{hom} = -C_n^b/\pi. \quad (B.29)$$

В итоге с учетом коэффициентов (B.24)–(B.25) окончательное полное решение имеет вид

$$\begin{aligned} A_\varphi(x, t, x_J, t_J) = q_m t + \sum_{n=1}^{\infty} T_n(t) \times \\ \times \begin{cases} -C_n^b Y_n^{a,c}(x)/\pi, & x < 0, \\ C_n^b [Y_n^b(x) - Y_n^{a,c}(x)/\pi], & 0 \leq x \leq x_J, \\ [C_n^c - C_n^b/\pi] Y_n^{a,c}(x), & x > x_J. \end{cases} \end{aligned} \quad (B.30)$$

### ЛИТЕРАТУРА

1. J. A. Wheeler, Phys. Rev. **97**, 511 (1955).

2. J. A. Wheeler, *Geometrodynamics*, Acad. Press, New York (1962).

3. V. Frolov and I. Novikov, Phys. Rev. D **42**, 1057 (1990).

4. Н. С. Кардашев, И. Д. Новиков, А. А. Шацкий, Астрон. ж. **83**, 675 (2006).

5. N. S. Kardashev, I. D. Novikov, and A. A. Shatskiy, Int. J. Mod. Phys. D **16**, 909 (2007).

6. А. М. Черепащук, Вестник МГУ, сер. 3, физика, астрон. **2**, 62 (2005).

7. B. Linet, J. Phys. A **9**, 1081 (1976).

8. B. Linet, arXiv:0712.0539.

9. G. A. Alekseev and V. A. Belinski, Phys. Rev. D **76**, 021501 (2007).

10. И. Д. Новиков, В. П. Фролов, *Физика черных дыр*, Наука, Москва (1986).

11. V. P. Frolov and I. D. Novikov, *Black Hole Physics*, Kluwer Acad. Publ., Dordrecht (1998).

12. N. R. Khusnutdinov and I. V. Bakhmatov, arXiv:0707.3396.

13. S. Krasnikov, arXiv:0802.1358.

14. В. С. Бескин, Н. С. Кардашев, И. Д. Новиков, А. А. Шацкий, Астрон. ж. **88**, 1000 (2011).

15. M. Visser, *Lorentzian Wormholes: from Einstein to Hawking*, AIP, Woodbury (1995).

16. К. А. Bronnikov, Acta Phys. Pol. B **4**, 251 (1973).

17. H. G. Ellis, J. Math. Phys. **14**, 104 (1973).

18. И. Д. Новиков, Н. С. Кардашев, А. А. Шацкий, УФН **177**, 1017 (2007).

19. А. А. Шацкий, УФН **179**, 861 (2009).

20. И. Н. Бронштейн, К. А. Семендяев, *Справочник по математике для инженеров и учащихся втузов*, Физматлит, Москва (1959).

21. J. M. Cohen and R. M. Wald, J. Math. Phys. **12**, 1845 (1971).